

نقاط کوانتمومی به عنوان نانوحسگرها جهت تشخیص مواد منفجره

فرهاد اخگری وايقان، حسن فتاحی، یونس موسائی اسکوئی

دانشگاه صنعتی مالک اشتر - پژوهشکده علوم و فناوری دفاعی شمال غرب - ارومیه

چکیده

با افایش روزافون خطرات و حملات تروریستی، شناسایی سریع مواد منفجره در هر مکانی به یک نیاز اساسی تبدیل شده است. در سالهای اخیر از نقاط کوانتمومی به دلیل دارا بودن مزایایی از قبیل حساسیت بالا، پاسخ دهن سریع و قیمت ارزان جهت ایجاد نانوحسگرهای مواد انفجاری برای شناسایی مواد منفجره استفاده شده است. در این مقاله تلاش شده است با جمجمه اوری مقاالتی که به تازگی در مورد استفاده از نقاط کوانتمومی برای تهییه و ساخت حسگرهای حساس به مواد منفجره در مجلات معتبر به چاپ رسیده است، توضیحاتی در مورد اهمیت، مکانیسم عمل و مزیت‌های این روشها نسبت به روش‌های متدالو قدمی ارائه شود.

farhad.akhgari@gmail.com

میزان تغییر نشر فلورسانی این نانو ذرات ایجاد می‌شود، استفاده از نقاط کوانتمومی برای ابداع سنسورهای مختلف در سالهای اخیر تبدیل به یک عامل کلیدی شده است.

۱-۲ روش‌های سنتز نقاط کوانتمومی

روش سنتز نقاط کوانتمومی با استفاده از شیمی آلی فلزی تاکتون جزء موقت‌ترین روشها برای سنتز نقاط کوانتمومی با کیفیت بالا می‌باشد. در سال ۱۹۹۳ آقای Murray و همکارانش برای اولین بار نقاط کوانتمومی TOP/TOPO پوشش داده با CdE(E=S, Se, Te) را سنتز کردند [۱۲]. سمیت حالهای آلی و همچنین نیاز مبرم به پوشاندن سطوح نقاط کوانتمومی سنتز شده با شیمی آلی از محدودیتهای این روش می‌باشد. نهایتاً پس از آن که آقای Rajh و همکارانش سنتز نقاط کوانتمومی CdS پوشش داده شده با تیول در محیط آبی را گزارش دادند، تلاشهای بسیاری برای گسترش روش سنتز در محیط آبی انجام شد. به دلیل سمیت کم و امکان کاربرد در محیط‌های زیستی، این روش جزء کاربردی‌ترین روشها برای سنتز نقاط کوانتمومی می‌باشد [۱۳]. روش استفاده از امواج میکروویو (ریزموچ) یکی دیگر از روش‌های رایج سنتز نقاط کوانتمومی می‌باشد که اولین بار در سال ۱۹۹۸ توسط گروه آقای Kotov معرفی شد [۱۴] که در ادامه آقای Qian و همکارانش یک روش ساده و سریع برای سنتز نقاط کوانتمومی CdSe, CdTe, CdS گزارش کردند [۱۵]. در این روش از امواج میکروویو به عنوان منع گرمایی استفاده می‌شود و معمولاً آب به عنوان حلال به کار برده می‌شود. در جدول (۱) تعدادی دیگر از روش‌های سنتز نقاط کوانتمومی به صورت خلاصه نمایش داده شده است.

۱- مقدمه
امروزه دستیابی به روش‌های کارآمد جهت دفع حملات تروریستی در تمام دنیا به یک نیاز اساسی تبدیل شده است. برای رفع این نیازها همواره سعی شده است تا با بکارگیری علوم به روز، روش‌های سریع، دقیق و ارزان قیمت برای تشخیص و اندازه گیری مواد منفجره ارائه شود. عموماً روش‌های قدیمی شامل به کارگیری دستگاههای گران‌قیمت و پرهزینه می‌باشند که در اکثر مواقع امکان به کارگیری و حمل آنها در هر مکانی به راحتی میسر نمی‌باشد [۱]. تعدادی از این روش‌ها عبارت‌اند از: به کارگیری دستگاههای کروماتوگرافی گازی کوپل شده با اسپکتروسکوپی جرمی [۲]، رزونانس مغناطیسی هسته [۳]، پراش پرتو X [۴]، جمع کننده الکترون [۵] و رزونانس رامان سطحی [۶-۸]. اخیراً در مورد روش‌ها و دستگاههای مورد استفاده در تشخیص مواد منفجره در مجلات معتبر مقالاتی به چاپ رسیده است [۱۰ و ۹]. در ساختار بیشتر مواد منفجره از ترکیبات نیترو آروماتیک به عنوان پیش ماده اصلی استفاده می‌شود. از این‌و ترشیخ حضور این مواد در محیط‌های مختلف از اهمیت فراوانی برخوردار است.

۲- نقاط کوانتمومی

نقاط کوانتمومی که به آنها نانوبولرهای نیمه‌رسانا نیز می‌کویند دارای ابعادی در حدود ۱-۱۰ نانومتر می‌باشند. این نانو ساختارها معمولاً از یک هسته و یک یا چند پوسته تشکیل می‌یابد. هسته معمولاً از عناصر گروههای II-VI و III-V یا IV-VI جدول تابوی می‌باشد که توسط لایه‌ای (پوسته) از جنس ترکیبات نیمه هادی پوشانده می‌شوند [۱۱]. به دلیل خواص ویژه الکتریکی و نوع پاسخی که در اثر برهمکنش یک گونه با نقاط کوانتمومی در

جدول (۱) سایر روش‌های سنتز نقاط کوانتمومی در

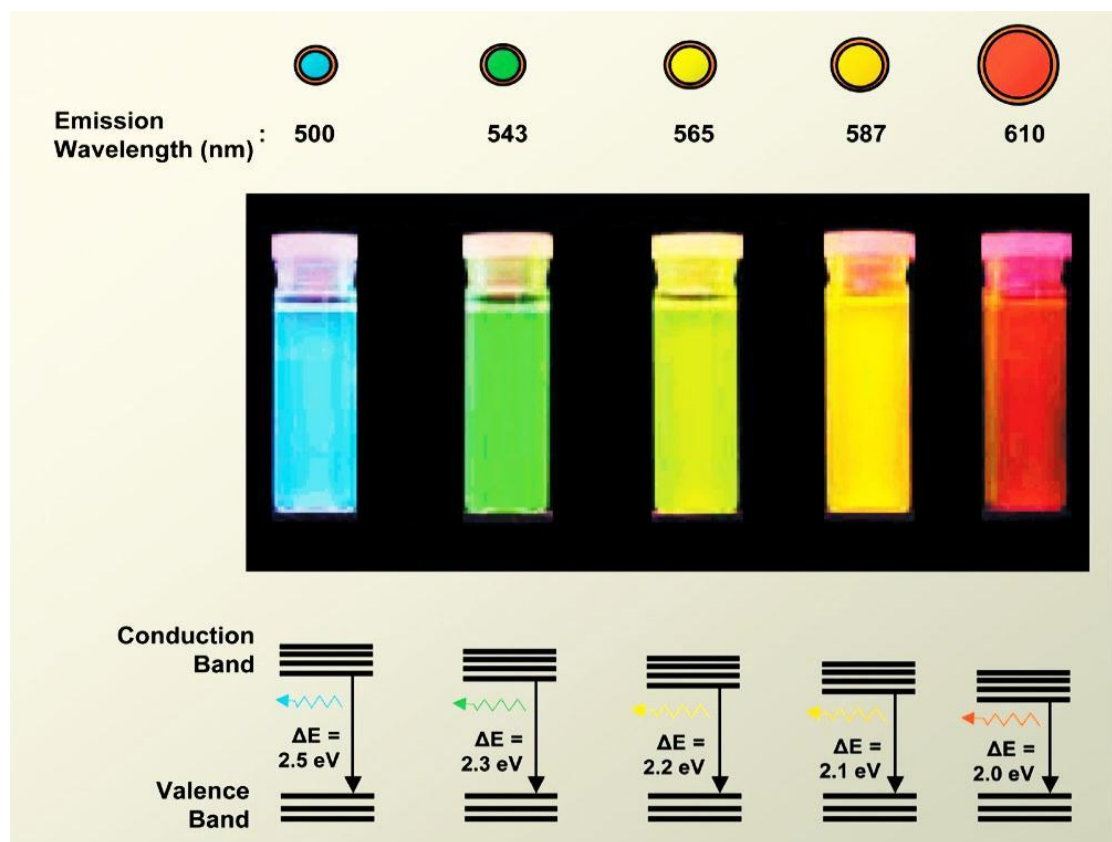
منبع	عامل پایدار کننده	مواد پیش ساز هسته	ترکیب نقاط کوانتمومی	روش‌های سنتز
[۱۶]	گلوتاتیون، تیوگلیکولیک اسید	کادمیم کلرید، پودر تلوریم، سدیم بورهیدرید	CdTe	هیدروترمال
[۱۷]	-	نیترات روی، نیترات بوروپیوم، نیترات اریبوم	Eu.Er-doped ZnO	ترسیب
[۱۸]	آدنوزید تری فسفات	استات منگنز، سولفید سدیم	Mn-doped Zns	استفاده از امواج فراصوت
[۱۹]	تیوگلیکولیک اسید	کلرید کادمیم، پودر تلوریم، سدیم بور هیدرید	CdTe	فوتوترمال
[۲۰]	تیوگلیکولیک اسید	سولفات کادمیم، سلنیم به عنوان کاتد	CdSe	الکتروسیمیانی
[۲۱]	-	تترا انیکس سیلان، نیترات روی	ZnO	هوپاخشی- ژل
[۲۲]	-	پلی کربیستال سیلیکون کاربید	SiC	سایش با لیزر
[۲۳]	ستبل تری اتیل آمونیوم برمید	کلرید قلع، سلنید سدیم	SnSe	پرتو افکنی الکترون
[۲۴]	کیتوسان، تیوگلیکولیک اسید	استات منگنز، سولفید روی	Mn-doped ZnS	پرتو افکنی با اشعه گاما

۳- مروری بر کاربردهای نقاط کوانتوسی به عنوان سنسور برای تشخیص مواد منفجره

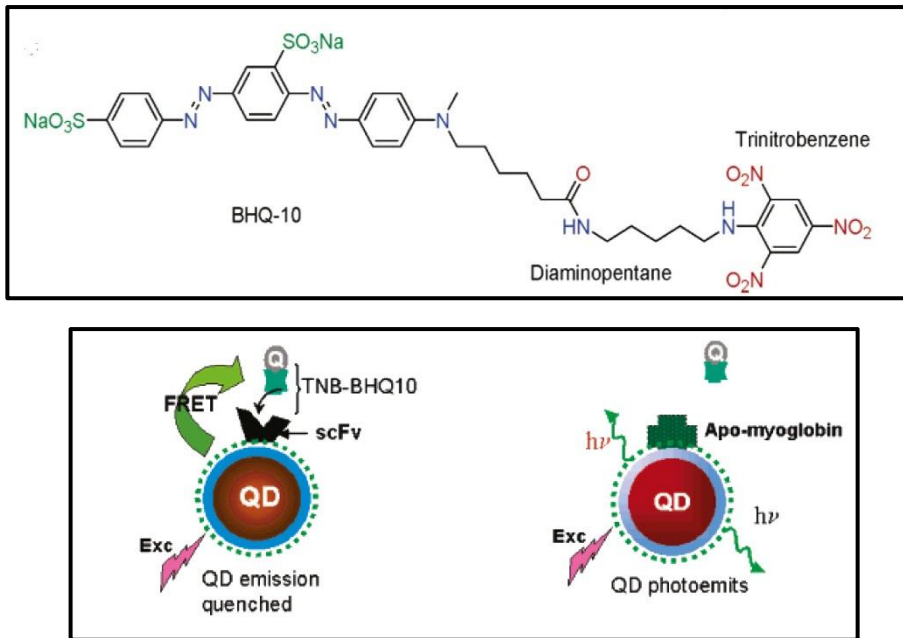
برای اولین بار تأثیر افزایش مقادیر TNT بر میزان کاهش نشر فلورسانی نقاط کوانتوسی در سال ۲۰۰۴ توسط Nieto و همکارانش گزارش شد [۲۷]. در سال ۲۰۰۵ Goldman و همکارانش توانستند با اتصال یک آنتنی بادی تک زنجیره‌ای (scFV) به نقاط کوانتوسی کادمیم سلنویید لایه دار شده با روی سولفید و در حضور یک پروتئین خاموش کننده فلورسانی توسط مکانیسم انتقال انرژی روزانه فلورسانس موفق به شناسایی مقادیر $1\text{-}10 \mu\text{g ml}^{-1}$ تری نیترو تولوئن شوند [۲۸]. همانطور که در شکل (۲) ساختار خاموش کننده مکانیسم واکنش نشان داده است، اساس کار، مجاور ساختن یک خاموش کننده فلورسانی مشتق شده از ترکیب (BHQ-10)، دی آمین پنتان و تری نیتر بنزن به نقاط کوانتوسی CdSe-ZnS اصلاح شده با یک آنتنی بادی اختصاصی تک زنجیره‌ای برای TNT می‌باشد که این خاموش کننده توسط مکانیسم انتقال انرژی فلورسانس، فلورسانی مربوط به نقاط کوانتوسی را تا حد زیادی خاموش می‌کند. ولی در حضور مولکول‌های TNT و در نهایت با اتصال مولکول‌های TNT به آنتنی بادی قرار داده شده روی سطح نقاط کوانتوسی CdSe-ZnS، ترکیب خاموش کننده از سطح نقاط کوانتوسی دور شده و نهایتاً میزان فلورسانی نقاط کوانتوسی افزایش می‌یابد که این میزان افزایش در نشر فلورسانی متناسب با غلظت مولکول‌های TNT در محلول می‌باشد.

۲-۲- خواص نوری نقاط کوانتوسی

اثر حدی کوانتوسی در نقاط کوانتوسی منجر به خواص الکتریکی و نوری منحصر به فردی در این ترکیبات می‌گردد. این اثر زمانی بروز می‌کند که اندازه نقاط کوانتوسی از یک حد بحرانی که به آن شعاع اکسایتون بور گفته می‌شود، کمتر باشد. در این حالت خواص نوری و الکتریکی نانوذره با خواص آن در حالت توده‌ای متفاوت است [۲۵]. در یک نیمه هادی الکترون‌ها که در لایه ظرفیت قرار می‌گیرند با جذب انرژی به لایه هدایت منتقل می‌شوند. به تفاوت انرژی بین لایه ظرفیت و هدایت، باند گپ گفته می‌شود. مقدار باند گپ بسته به نوع ترکیب نیمه هادی و اندازه نقاط کوانتوسی متفاوت می‌باشد. همانطور که در شکل (۱) نشان داده شده است با توجه به این که رابطه عکس بین اندازه نقاط کوانتوسی و باند گپ وجود دارد، نقاط کوانتوسی با اندازه‌های متفاوت رنگ‌های متفاوتی از خود نشان می‌دهند. نقاط کوانتوسی در مقایسه با رنگانه‌های فلورسانی، به علت داشتن طول موج نشری قابل تنظیم (بسته به اندازه)، بازده کوانتوسی بالا و پایداری رنگی، از مزیتهای بیشتری برخوردار هستند. علاوه بر این، طیف نشر فلورسانی این قبیل نانو مواد در مقایسه با رنگانه‌های آلی، باریک، متفاوت و مستقل از طول موج تحریک می‌باشند [۲۶]. مشخص شده است که میزان نشر فلورسانی نقاط کوانتوسی به نوع واکنش و نوع مواد واکنش دهنده با نقاط کوانتوسی حساس می‌باشد.



شکل (۱) تغییر رنگ نقاط کوانتوسی با تغییر دمیزان باند گپ و اندازه نقاط کوانتوسی

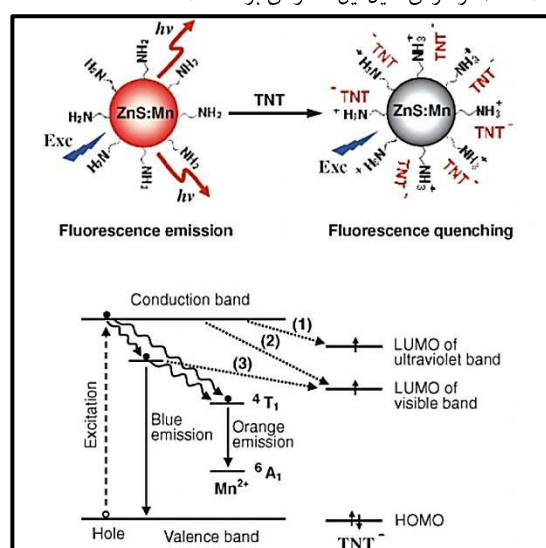


شکل(۲) ساختار خاموش کننده BHQ-10-DAP-TNB و مکانیسم جایگزینی مولکول TNT با خاموش کننده

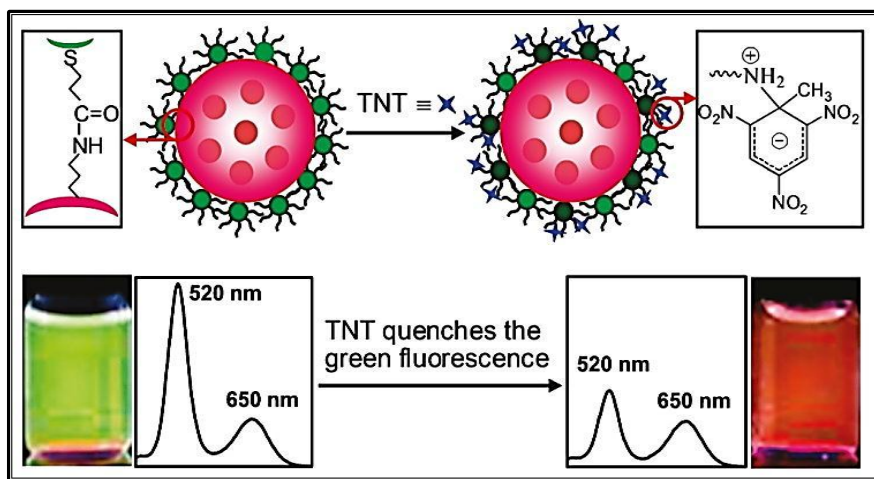
در سال ۲۰۰۸ آقای Zhang و همکارانش با پوشاندن سطح نقاط کوانتومی روی سولفید (ZnS) دوپه شده با یون منگنز (Mn^{2+}) با سیستامین که دارای نشر فلورسانی بیشتری نسبت به نقاط کوانتومی ZnS است، به مطالعه امکان ساخت حسگر TNT پرداختند [۳۰]. مولکول‌های TNT می‌توانند با ایجاد پیوندهای اسید و باز با عامل آمین سیستامین قرار داده شده در سطح نانوکریستال‌ها به این ذرات اتصال پیدا کنند. همانطور که در شکل(۳) قابل مشاهده است با توجه به پایین بودن لبه جذبی آئیون TNT در مقایسه با باند رسانایی ZnS و با بالا بودن سطح انرژی این لبه جذبی نسبت به باند ۴یون منگنز، نشر نارنجی مربوط به یون Mn^{2+} به دلیل انتقال الکترون از باند رسانایی ZnS به پایین‌ترین لایه اوریتال مولکولی اشغال نشده آئیون TNT شروع به خاموش شدن فلورسانی می‌کند. این سنسور قادر به تشخیص مولکول‌های TNT در حدود ۱ نانومولار در حالت محلول و ۱۰-۱۲ مولار در حالت گازی می‌باشد.

همین گروه در سال ۲۰۱۱ با بکارگیری دو نوع ذره نقاط کوانتومی CdTe با اندازه‌های متفاوت که دارای طول موج نشری متفاوت بودند و با استفاده از تکیک اندازه‌گیری نسبت نشر در دو طول موج توانستند یک سنسور حساس به TNT ارائه دهند [۳۱]. در این کار، دو نوع ذره نقاط رسانا به کار برده شده است که اولی در محدوده نور قرمز نشر دارد و با یک گروه پلی آمین عامل دار شده که حساس به حضور مولکول‌های TNT است. ذره نوی دوم که عامل دار نشده است در ناحیه رنگ سبز نشر دارد و به مولکول‌های TNT حساس نمی‌باشد. در حضور مولکول‌های TNT بنا به مکانیسم انتقال انرژی فلورسانس و تشکیل کمپلکس مایزن‌هایمر بین نقاط کوانتومی عامل دار شده و مولکول‌های TNT، میزان نشر نور سبز کاهش یافته و نشر نور قرمز ناشی از نقاط کوانتومی عامل دار نشده ثابت می‌ماند که با ادامه این روند، در کل تغییر رنگی از سبز به قرمز با افزایش مقدار TNT مشاهده می‌شود که با چشم غیر مسلح نیز قابل تشخیص می‌باشد (شکل(۴)).

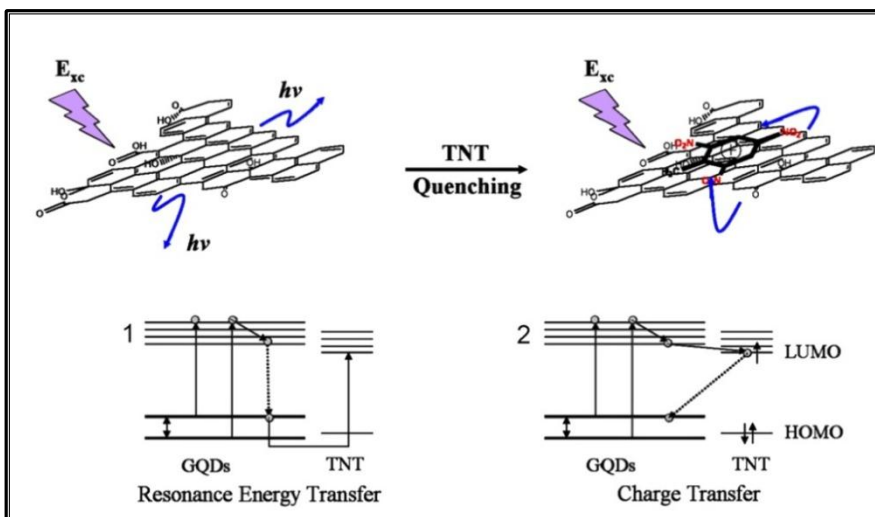
در سال ۲۰۰۷ Wang و همکارانش با سنتز نقاط کوانتومی CdSe در محلول اولیک اسید و اکتادکان تحت حرارت بالا توانستند ترکیبات با ساختار نیتروآروماتیک و ساختارهای مشابه را تا مقادیر ۰-۸۰۰ مولار شناسایی کنند [۲۹]. در این کار، نقاط کوانتومی CdSe بدون هیچ اصلاح کننده‌ای جهت شناسایی TNT، DNT (دی‌نیترو تولوئن) و DNBC (دی‌نیترو کلربنزن) به کار رفته است. مواد نیترو آروماتیک با قرار گرفتن در مجاورت نقاط کوانتومی سنتز شده باعث خاموشی نشر فلورسانی نقاط کوانتومی به کار رفته شده است. پیشنهاد شده که احتملاً بر هم کنش مولکول‌های آنالیت با لایه آبگریز اطراف نقاط کوانتومی دلیل این خاموشی بوده است.



شکل(۳) انتقال الکترون از باند رسانایی ZnS به پایین‌ترین لایه اوریتال مولکولی اشغال نشده آئیون TNT و متعاقباً خاموش شدن نشر فلورسانس



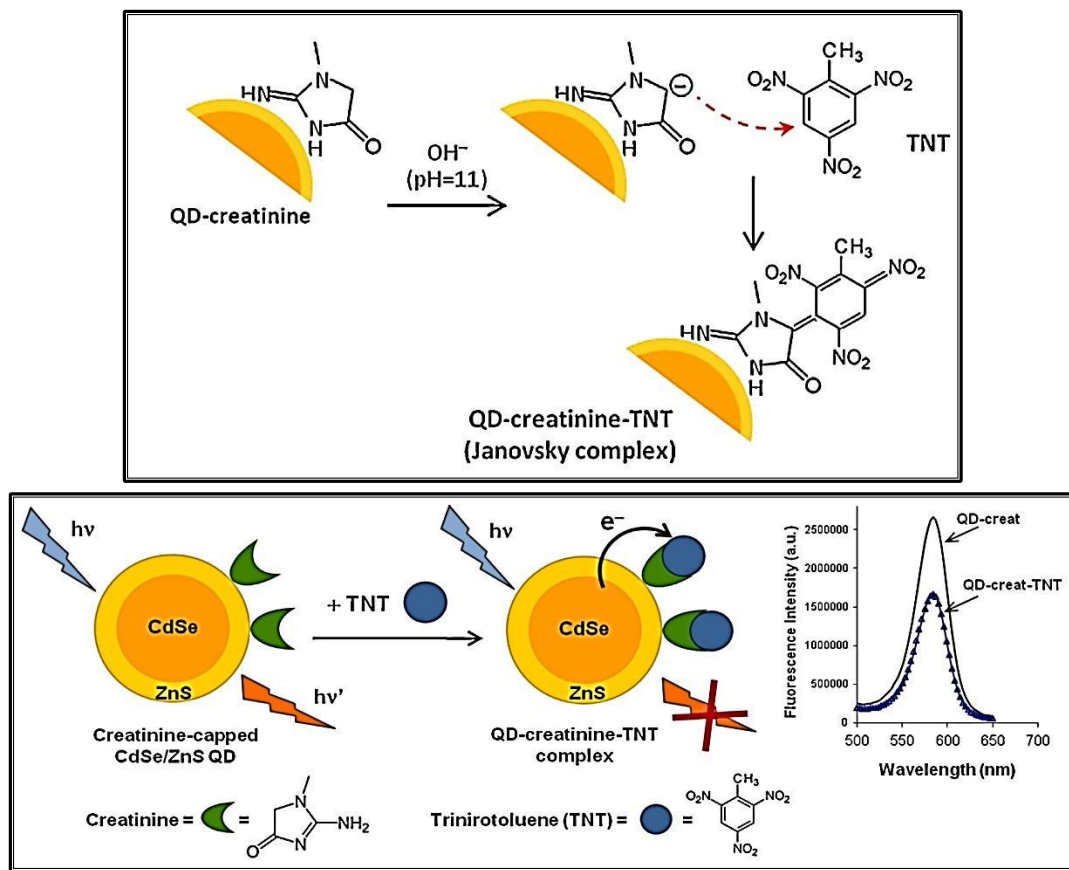
شکل(۴) تشکیل کمپلکس مایزن هایمر (*Meisenheimer*) بین نقاط کوانتمومی عامل دار شده و مولکولهای TNT و تغییر رنگ از سبز به قرمز که با چشم غیر مسلح نیز قابل تشخیص می باشد.



شکل(۵) بر اثر برهم کنش پیوندهای $\pi-\pi$ بین نقاط کوانتمومی گرافن و حلقه آروماتیکی TNT طبق مکانیسم انتقال انرژی رزونانسی فلورسانس، از نشر فلورسانی کاسته می شود.

حد تشخیص این روش در حدود 10^{-5} ppm برای TNT می باشد. در سال ۲۰۱۲ Li و همکارانش موفق شدند نقاط کوانتمومی گرافن را از گرافن اکساید توسط احیا کردن با سدیم بورهیدرید (NaBH4) و سپس اکسید کردن توسط نیتریک اسید (HNO3) سنتز کنند که علاوه بر داشتن ویژگی هایی از قبیل قابلیت حل شدن در آب، توانایی تشخیص TNT بدون هیچگونه عامل اصلاح کننده ای را دارا بودند [۳۳]. همانطور که در شکل (۵) نشان داده شده است، این نقاط کوانتمومی در محدوده ۴۵۰ نانومتر دارای طول موج نشري می باشد که بر اثر برهم کنش پیوندهای $\pi-\pi$ بین نقاط کوانتمومی گرافن و حلقه آروماتیکی TNT طبق مکانیسم انتقال انرژی رزونانسی فلورسانس دچار خاموشی فلورسانی در حضور مولکولهای TNT می شوند. حد تشخیص این روش در حدود 4×10^{-4} مولار می باشد.

برای افزایش انتخابگری سنسورهای بر اساس نقاط کوانتمومی از پلیمرهای قالب مولکولی (MIP) نیز استفاده شده است. در سال ۲۰۱۰ Grant و همکارانش از نقاط کوانتمومی برای ایجاد خاصیت فلورسانی یکسری از پلیمرهای قالب مولکولی دارای خاصیت انتخابی نسبت به TNT استفاده کردند [۳۲]. مزیت استفاده از پلیمرهای قالب مولکولی برای شناسایی TNT در این است که در محیطهای غیر آبی نیز به بخارات TNT حساس می باشد و می تواند به عنوان سنسوری برای تشخیص TNT به کار برود. نقاط کوانتمومی به کار رفته در این کار ZnS آمین دار شده می باشد که در ناحیه ۶۰۰ نانومتر دارای طیف نشری باریک می باشند. پلیمرهای قالب مولکولی در حضور مولکولهای TNT به علت برهم کنش مولکولهای TNT و نقاط کوانتمومی یک فرونشانی در فلورسانس نشان می دهند که متناسب با غلظت مولکول TNT می باشد.



شکل ۶) در محیط بازی تشکیل کمپلکس جانووسکی QD-Creatinine-TNT باعث فرونشانی فلورسانی نقاط کوانتمومی می‌باشد.

آسان، همه نقاط کوانتمومی شرح داده شده، توانایی بالقوه برای کاربرد در ساخت انواع حسگرهای مواد انفجاری را دارا می‌باشند.

۵- منابع

1. Yinon J., "Detection of explosives by electronic noses", *Anal. Chem.*, 2003, 75, 99A-105A.
2. Hakansson K., Coorey R.V., Zubarev R.A., Talrose V.L., Hakansson P., "Low-mass ions observed in plasma desorption mass spectrometry of high explosives" *J. Mass Spectrom.* 2000, 35, 337-346.
3. Anferov V.P., Mozjoukhine G.V., Fisher R., "Pulsed spectrometer for nuclear quadrupole resonance for remote detection of nitrogen in explosives", *Rev. Sci. Instrum.* 2000, 71, 1656-1659.
4. Luggar R.D., Farquharson M.J., Horrocks J.A., Lacey R.J., "Multivariate analysis of statistically poor EDXRD spectra for the detection of concealed explosives", *J. X-ray Spectrom.* 1998, 27, 87-94.
5. Rouhi A.M., "Landmines: Horrors begging for solutions", *Chem. Eng. News*, 1997, 75, 14-22.

در سال ۲۰۱۳ Valcárcel و همکارانش یک سری نقاط کوانتمومی CdSe-ZnS با کراتینین را سنتز کردند که با توجه به انتخابگری بالای کراتینین به ترکیبات نیتروآروماتیک طبق واکنش معروف جاف توانایی شناسایی و اندازه‌گیری مولکولهای TNT را فراهم می‌کرد [۳۴]. نقاط کوانتمومی ذکر شده در طول موج ۵۸۳ نانومتر دارای یکسری نشری باریک می‌باشند که در محیط بازی با از دست دادن یک پروتون در روی کراتینین اتصال داده شده روی نقاط کوانتمومی، یک بار منفی ایجاد می‌شود که با حمله به حلقة آروماتیک TNT و ایجاد کمپلکس جانووسکی باشد (شکل ۶). این گروه با استفاده از فرونشانی فلورسانی نقاط کوانتمومی می‌باشد (شکل ۶). این نقاط کوانتمومی مقادیر ۰-۰۵٪ میکروگرم بر لیتر را در خاک توانستند شناسایی کنند.

۶- نتیجه‌گیری

در یک دهه گذشته، تلاش‌های بسیاری برای ابداع و گسترش حسگرهای توانمند شده با فناوری نانو به دلیل داشتن حساسیت، گزینش‌پذیری بالا و قیمت ارزان آغاز شده است. مزایای فناوری نانو می‌توانند توانمندی بالایی را در حسگرهای علت خواص ویژه نانوذرات بکار رفته ایجاد نمایند. این مقاله مروری بر پیشرفت‌های گزارش شده در زمینه استفاده از نقاط کوانتمومی برای تشخیص مواد انفجاری را ارائه کرده و توضیحاتی در مورد مکانیسم عمل آنها ارائه می‌کند. با توجه به حدود آشکارسازی پایین، قیمت ارزان و قابلیت حمل

6. Sylvia J.M., Janni J.A., Klein J.D., Spencer K.M., "Surface-enhanced Raman detection of 2,4-Dinitrotoluene impurity vapor as a marker to locate landmines", *Anal. Chem.* 2000, 72, 5834–5840.
7. Riskin M., Vered R., Willner I., "Imprinted Au-nanoparticle composites for the ultrasensitive surface plasmon resonance detection of Hexahydro-1,3,5-trinitro-1,3,5-triazine (RDX)", *Adv. Mater.* 2010, 22, 1387–1391.
8. Riskin M., Vered R., Lioubashevski O., Willner I., "Ultrasensitive surface plasmon resonance detection of trinitrotoluene by a bis-aniline-cross-linked Au nanoparticles composite", *J. Am. Chem. Soc.* 2009, 131, 7368–7378.
9. Moore D.S., "Instrumentation for trace detection of high explosives", *Rev. Sci. Instrum.* 2004, 75, 2499–2512.
10. Caygill J., Davis F., Higson S.P., "Current trends in explosive detection techniques", *Talanta*, 2012, 88, 14–29.
11. Kuang H., Zhao Y., Ma W., Xu L., Wang L., Xu C., "Recent developments in analytical applications of quantum dots", *Trends Anal. Chem.* 2011, 30(10), 1620-1631.
12. Murray C.B., Norris D. J., Bawendi M.G., "Synthesis and characterization of nearly monodisperse CdE(E=S, Se, Te) semiconductor nanocrystallites", *J. Am. Chem. Soc.* 1993, 115(19), 8706-8715.
13. Rajh T., Micic O. I., Nozik J., "Synthesis and characterization of surface-modified colloidal CdTe quantum dots", *J. Phys. Chem. B*, 1993, 97(46), 11999-12003.
14. Correa-Duarte M.A., Giersig M., Kotov N. A., Liz-Marzan L. M., "Control of packing order of self-assembled monolayers of magnetite nanoparticles with and without SiO₂ coating by microwave irradiation", *Langmuir*, 1998, 14(22), 6430-6435.
15. Qian H. F., Qiu X., Li L., Ren J.C., "Microwave assisted aqueous synthesis : a rapid approach to prepare highly luminescent ZnSe(S) alloyed quantum dots", *J. Phys. Chem. B*, 2006, 110(18), 9034-9040.
16. Yu Y., Xu L., Chen J., Gao H., Wang S., Fang J., Xu S., "Hydrothermal synthesis of GSH-TGA co-capped CdTe quantum dots and their application in labeling colorectal cancer cells.", *Colloids Surf. B*, 2012, 95, 247-253.
17. Lang J., Li X., Yang J., Yang L., Zhang Y., Yang Y., Han Q., Wei M., Gao M., Liu X., Wng R., "Rapid synthesis and luminescence of the Eu³⁺, Er³⁺ codoped ZnO quantum-dot chain via chemical precipitation method", *Appl. Surf. Sci.*, 2011, 257, 9574-9577.
18. Ren H., Yan X., "Ultrasonic assisted synthesis of adenosine triphosphate capped manganese-doped ZnS quantum dots for selective room temperature phosphorescence detection of arginine and methylated arginine in urine based on supermolecular Mg²⁺ adenosine triphosphate-arginine ternary system." *Tlanta*, 2012, 97, 16-22.
19. Liu M., Zhao H., Chen S., Wang H., Quan X., "Photochemical synthesis of highly fluorescent CdTe quantum dots for "on-of-on" detection of Cu(II) ions", *Inorg. Chim. Acta*, 2012, 392, 236-240.
20. Li S., Zhao H., Tian D., "Aqueous synthesis of highly monodispersed thiol-capped CdSe quantum dots based on the electrochemical method", *Mater. Sci. Semicond. Process.* 2013, 16, 149-153.
21. Firmansyah D.A., Kim S., Lee K., Kim R., Lee D., "Microstructure controlled aerosol-gel synthesis of ZnO quantum dots dispersed in SiO₂ nanospheres", *Langmuir*, 2012, 28, 2890-2896.
22. Zakharko Y., Rioux D., Pataskovsky S., Lysenko V., Marty O., Bluet J., Meunier M., "Direct synthesis of luminescent SiC quantum dots in water by laser ablation", *Phys. Status Solidi RRL*, 2011, 5, 292-294.
23. Li Z., Peng L., Fang Y., Chen Z., Pan D., Wu M., "synthesis of colloidal SnSe quantum dots by electron beam irradiation", *Radiat. Phys. Chem.*, 2011, 80, 1333, 1336.
24. Chang S. Q., Kang B., Dai Y.D., Zhang H.X., Chen D., "One-step fabrication of biocompatible chitosan-coated ZnS and ZnS:Mn²⁺ quantum dots via a γ -radiation route", *Nanoscale Res. Lett.* 2011, 6, 591-597.
25. Hines D.A., Kamat P.V., "Recent advances in quantum dot surface chemistry", *Appl. Mater. Interfaces*, 2014, 6, 3041–3057

26. Xu S., Lu H., Li J., Song X., Wang A., Chen L., Han S., "Dummy molecularly imprinted polymers-capped CdTe quantum dots for the fluorescent sensing of 2,4,6-trinitrotoluene", *Appl. Mater. Interfaces*, 2013, 5(16), 8146-54.
27. Nieto S., Santana A., Hernandes S., Lareau R., Chamberlain R.T., Castro M., "Quantum dots for detection of trace amount of nonvolatile explosives: the effect of TNT in the fluorescence of CdSe quantum dots", *Proceeding of SPIE*, 2004, 5403, 256-260.
28. Goldman E. R., Medintz I.L., Whitley J. L., Hayhurst A., Clapp A.R., Uyeda H.T., Deschamps J. R., Lassman M. E., Mattoussi H., "A hybrid quantum dot-antibody fragment fluorescence resonance energy transfer-based TNT sensor", *J. Am. Chem. Soc.* 2005, 127, 6744-6751.
29. Hua Shi G., Shang Z. B., Wang Y., Wei J., Zhang T., "Fluorescence quenching of CdSe quantum dots by nitroaromatic explosives and their relative compounds", *Spectrochimica Acta*, 2008, 70, 247-252.
30. Tu R., Liu B., Wang Z., Gao D., Wang F., Fang Q., Zhang Z., "Amine-capped ZnS-Mn²⁺ nanocrystals for fluorescence detection of trace TNT explosive", *Anal. Chem.* 2008, 80, 3458-3465.
31. Zhang K., Zhou H., Mei Q., Wang S., Guan G., Liu R., Zhang J., Zhang Z., "Instant visual detection of trinitrotoluene particulates on various surfaces by ratiometric fluorescence of dual-emission quantum dots hybrid", *J. Am. Chem. Soc.* 2011, 133, 8424-8427.
32. Stringer R. C., Gangopadhyay S., Grant S. A., "Detection of nitroaromatic explosives using a fluorescent-labeled imprinted polymer", *Anal. Chem.* 2010, 82, 4015-4019.
33. Fan L., Hua Y., Wang X., Zhang L., Li F., Han D., Li Z., Zhang Q., Wang Z., Niu L., "Fluorescence resonance energy transfer quenching at the surface of graphene quantum dots for ultrasensitive detection of TNT", *Talanta*, 2012, 101, 192-197.
34. Carrión C., Simonet B. M., Valcárcel M., "Determination of TNT explosive based on its selectively interaction with creatinine-capped CdSe/ZnS quantum dots", *Anal. Chim. Acta*, 2013, 792, 93-100.